

# Результаты испытаний маслозаполненного винтового компрессора малой производительности в высокотемпературных режимах

В.Н. ДОКУКИН, А.Л. ЕМЕЛЬЯНОВ, А.Н. НОСКОВ

*Санкт-Петербургский государственный университет  
низкотемпературных и пищевых технологий*

*The plots of main characteristics of oil-filled screw compressor VSK 31 61-15Y, intended for operation in a heat pump or air conditioning system in the range of evaporating temperatures -10...-4 °C and condensing temperatures 49...63 °C are presented. The dependencies of real volumetric efficiency, performance, refrigerating and heat capacity from outside compression ratio of the compressor are obtained, confirming a possibility of effective use of compressor in the mentioned area.*

Транспортные системы кондиционирования (СКВ), как правило, проектируются на базе автономных кондиционеров со встроенной парокомпрессионной холодильной машиной. Транспортные СКВ работают в режимах вентиляции, охлаждения, осушки и нагрева приточного воздуха. Холодильная машина транспортной СКВ работает в высокотемпературном режиме с температурой кипения в диапазоне  $-20\ldots+10$  °C и температурой конденсации до 65 °C. Эксплуатационные характеристики кондиционеров в значительной степени зависят от типа компрессора. В кондиционерах пассажирских вагонов наиболее распространены маслозаполненные двухроторные винтовые компрессоры серии VSK производства компании Bitzer. Эти компрессоры не имеют аналогов в мире по своим массогабаритным показателям. Компрессоры герметичные, с горизонтальным цилиндрическим корпусом, низким уровнем вибрации и возможностью плавного инверторного регулирования холодопроизводительности в диапазоне частот питающего напряжения 20...70 Гц.

Особенностями работы маслозаполненного винтового компрессора (ВКМ) в высокотемпературном режиме являются большая разность давлений нагнетания и всасывания и большая потребляемая мощность, что не всегда позволяет применить в качестве опор подшипники качения из-за больших величин реакций опор. Чем больше реакции опор ВКМ, тем больше эквивалентная динамическая нагрузка и меньше ресурс работы опорных подшипников качения. Кроме того, применение подшипников качения ограничено ресурсом его работы  $L_h$  (не более 60000 ч). Применение подшипников скольжения также имеет недостатки: повышаются балластные утечки, что снижает коэффициенты подачи  $\lambda$  и эффективный коэффициент полезного действия  $\eta_e$ . Это осо-

бенно характерно для компрессоров малой производительности [4].

В работе [2] были проведены расчеты реакций опор в маслозаполненном винтовом компрессоре с теоретической объемной производительностью  $V_t = 0,06 \text{ м}^3/\text{с}$  в одноступенчатых циклах на R717, R407C, R22 и R134a. Режимы работы компрессора: температуры кипения  $t_0 = 5, 10, 15$  °C; температуры конденсации  $t_k = 60, 70$  °C.

Величины реакций опор винтового компрессора определялись по методу, приведенному в [3]. Расчеты показали, что у ВКМ, использующих в качестве хладагента R717, R407C и R22, реакции опор винтов имеют большие значения, что затрудняет применение подшипников качения. Самые низкие величины реакций опор у ВКМ, работающих на R134a, что позволяет применить подшипники качения на всех режимах.

В Санкт-Петербургском государственном университете низкотемпературных и пищевых технологий проведены калориметрические испытания винтового компрессора VSK3161 – 15Y в высокотемпературных режимах на хладагенте R134a.

Для проведения испытаний винтового компрессора был создан стенд, принципиальная схема и цикл работы которого приведены на рис. 1.

Для изменения частоты вращения встроенного асинхронного электродвигателя компрессора применялся частотный преобразователь с законом регулирования  $u/f = \text{const}$  (где  $u$  – напряжение и  $f$  – частота тока питания).

Пар хладагента всасывается через электродвигатель (процесс 1 – 1'), сжимается в ВКМ (процесс 1 – 2), конденсируется в воздушном конденсаторе (процесс 2 – 3), дросселируется в регулирующем вентиле (процесс 3 – 4) и подается в испаритель (воздухоохладитель), где кипит

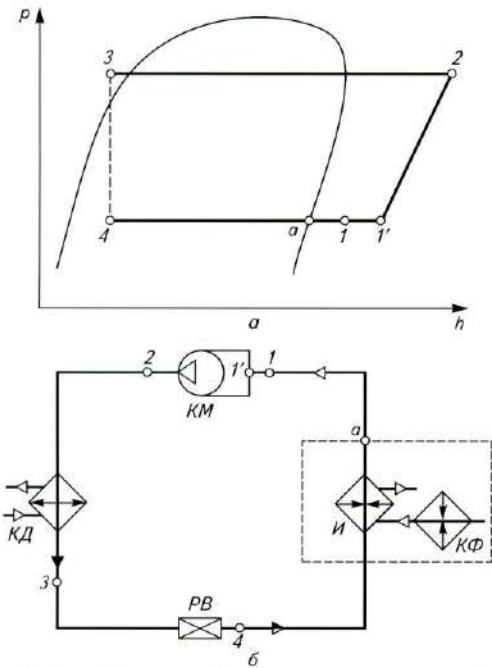


Рис. 1. Цикл (а) и схема (б) экспериментального стенда с винтовым компрессором:

*КМ* – маслозаполненный холодильный винтовой компрессор VSK3161 – 15Y; *КД* – воздушный конденсатор; *РВ* – регулирующий вентиль; *И* – испаритель (воздухоохладитель); *КФ* – электрокалорифер

(процесс 4 – а), после чего цикл повторяется. Для измерения и регистрации внешних и внутренних параметров, а также для контроля за режимами работы компрессора стандукомплектован необходимой контрольно-измерительной аппаратурой.

Воздушный контур холодильной машины по испарителю был замкнут. Компенсацию явной нагрузки на испаритель холодильной машины обеспечивали нагреванием воздуха электрокалорифером, компенсацию скрытой нагрузки – водяным паром.

Холодопроизводительность холодильной машины с винтовым компрессором определяли калориметрическим методом по формуле

$$Q_0 = \sum_i N_i$$

где  $\sum_i N_i$  – суммарная электрическая мощность, потребляемая электрокалорифером и кипятильником, компенсирующая охлаждающее и осушающее действие воздухоохладителя.

Теплопроизводительность холодильной машины (теплового насоса) с винтовым компрессором определялась психрометрическим методом по формуле

$$Q_h = G_b (h_{b2} - h_{b1}),$$

где  $G_b$  – массовый расход воздуха через воздушный конденсатор;

$h_{b1}$  и  $h_{b2}$  – энталпии воздуха.

Основными задачами экспериментального исследования являлись:

• определение объемных и энергетических характеристик винтового компрессора при различных частотах вращения электродвигателя;

• оценка эффективности работы винтового компрессора VSK3161 – 15Y в высокотемпературных режимах.

При исследовании ВКМ температура кипения хладагента изменялась в пределах  $t_0 = -10 \dots -4^\circ\text{C}$  (давление кипения  $p_0 = 0,2 \dots 0,25 \text{ МПа}$ ), а конденсации  $t_k = 49 \dots 63^\circ\text{C}$  (давление конденсации  $p_k = 1,28 \dots 1,79 \text{ МПа}$ ). Наружная степень повышения давления изменялась в пределах  $\pi_n = 5,08 \dots 8,94$ , а частота вращения ведущего ротора  $n_1$  имела два значения:  $50 \text{ с}^{-1}$  и  $60 \text{ с}^{-1}$ .

Расчет параметров состояния хладагента R134a производили по зависимостям, приведенным в [7]. Массовый расход хладагента  $G_a$  определяли по тепловому балансу испарителя и конденсатора.

Действительная объемная производительность компрессора по условиям всасывания

$$V_d = G_a / v_1,$$

где  $v_1$  – удельный объем пара на всасывании.

Коэффициент подачи компрессора

$$\lambda = V_d / V_t,$$

где  $V_t$  – теоретическая объемная производительность компрессора.

Потребляемую электрическую мощность  $N_s$  вычисляли по формуле

$$N_s = N_A + N_B + N_C,$$

где  $N_A$ ,  $N_B$ ,  $N_C$  – измеренная мощность в каждой фазе.

Результаты испытаний обрабатывались по зависимостям, приведенным в работе [4].

КПД электродвигателя  $\eta_{эд}$  определяли по следующей зависимости:

$$\eta_{эд} = 1 - Q_{эд} / N_s,$$

где  $Q_{эд}$  – теплота, подведенная в электродвигателе к всасываемому пару хладагента,  $Q_{эд} = G_a (h_{1'} - h_1)$ ;

$h_{1'}$ ,  $h_1$  – энталпия пара хладагента на входе в полости винтов и во всасывающем патрубке компрессора.

Температура пара на входе в полости винтов замерялась термопарой.

Величины холодопроизводительности  $Q_0$ , теплопроизводительности  $Q_h$ , мощности изоэнтропного сжатия  $N_s$ , эффективной мощности  $N_e$  и коэффициента подачи  $\lambda$  определяли по зависимостям, приведенным в [3,4]. Величины безразмерных параметров определяли как:

эффективный КПД компрессора  $\eta_e = N_s / N_e$ ;

электрический КПД  $\eta_s = N_s / N_s$ ;

холодильный коэффициент  $\epsilon_e = Q_0 / N_e$  и отопительный коэффициент  $\mu_e = Q_h / N_e$ .

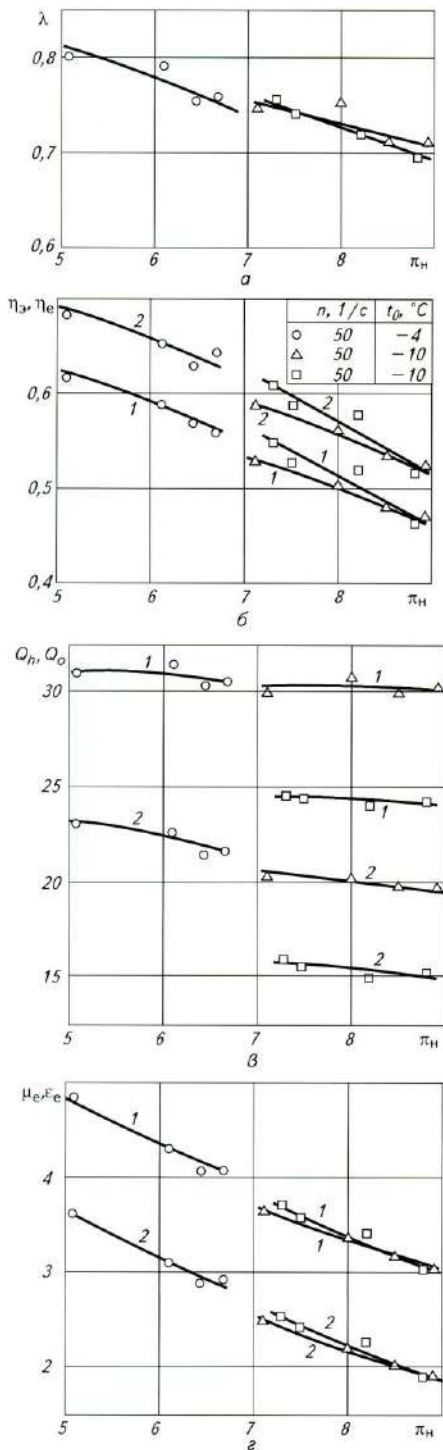


Рис.2. Зависимость характеристик компрессора от наружной степени сжатия  $\pi_n$ :  
 а – коэффициент подачи; б – энергетические характеристики:  
 1 – электрический КПД  $\eta_e$ ; 2 – эффективный КПД  $\eta_e$ ;  
 в – холодопроизводительность  $Q_0$  (1) и теплопроизводительность  $Q_h$  (1); г – холодильный  $\epsilon_e$  (1) и отопительный  $\mu_e$  (1) коэффициенты

#### Техническая характеристика компрессора VSK3161 – 15Y

Число заходов ведущего ротора	5
Наружный диаметр ведущего ротора, мм	78,9
Число заходов ведомого ротора	6
Наружный диаметр ведомого ротора, мм	59,2
Длина роторов, мм	112
Зазор на торце нагнетания, мм	0,02
Среднеквадратичная величина профильных зазоров, мм	0,02...0,03
Геометрическая степень сжатия	3
Теоретическая объемная производительность компрессора, м <sup>3</sup> /с:	
при частоте переменного тока 50 Гц	0,0128
при частоте переменного тока 60 Гц	0,0156
Профиль роторов – компания «Bitzer».	

На рис. 2 представлены зависимости коэффициента подачи  $\lambda$ , электрического КПД  $\eta_e$ , эффективного КПД  $\eta_e$  компрессора, а также  $Q_0$ ,  $Q_h$ ,  $\mu_e$  и  $\epsilon_e$  от наружной степени сжатия  $\pi_n = p_n / p_0$ .

Из рис. 2 видно, что характеристики винтового маслозаполненного компрессора VSK3161 – 15Y в высокотемпературных режимах на хладагенте R134a имеют высокие значения, соизмеримые с аналогичными характеристиками винтовых маслозаполненных компрессоров более высокой производительности [7] и поршневых компрессоров близкой производительности [1]. Таким образом, маслозаполненный винтовой компрессор малой производительности VSK3161 – 15Y может эффективно применяться в составе кондиционера и теплового насоса.

#### Список литературы

- Малахова М.А., Кашина Н.А. Разработка и исследование новых холодильных бесшарнирных компрессоров холодопроизводительностью 5,8 – 35 кВт // Исследование, расчет и конструирование холодильных и компрессорных машин: Сб. науч. тр. ВНИИхолодмаша под ред. А. В. Быкова. – М., 1980.
- Носков А.Н., Докукин В.Н. Особенности применения различных рабочих веществ в тепловых насосах с винтовым компрессором // Низкотемпературные и пищевые технологии в XXI веке: Сб. науч. тр. III МНТК.–СПб., 2007.
- Тепловые и конструктивные расчеты холодильных машин/ Под. ред. И.А. Сакуна. – Л.: Машиностроение, 1987.
- Холодильные машины /Под. ред. Л.С. Тимофеевского. – СПб.: Политехника, 2006.
- Холодильные компрессоры / А.В. Быков, Э.М. Бежанишвили, И.М. Калинин и др. / Под ред. А.В. Быкова. – М.: Колос, 1992.
- Языков В.Н. Теоретические основы проектирования судовых систем кондиционирования воздуха. – Л.: Судостроение, 1967.
- Tillner-Roth R, Baehr, H.D. An international standard formulation for the thermodynamic properties of 1,1,1,2-tetrafluoroethane (HFC-134a) for temperatures from 170 K to 455 K and pressures up to 70 MPa. J. Phys. Chem. Ref. Data, 1994; 23.